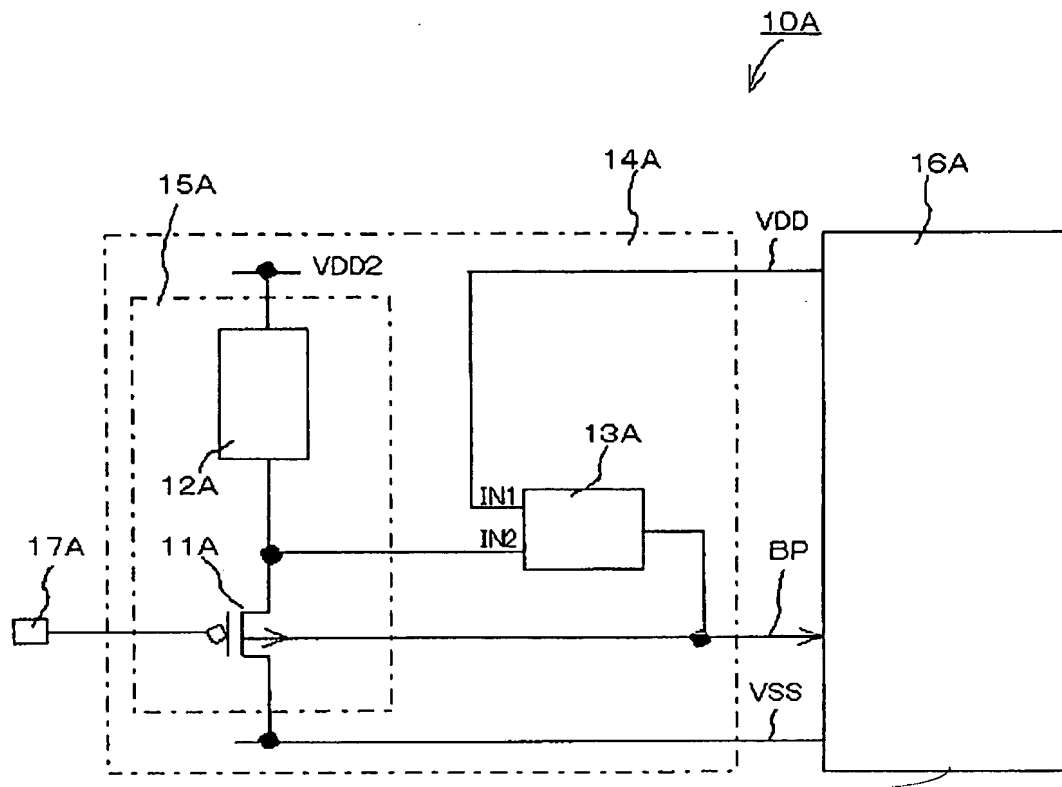
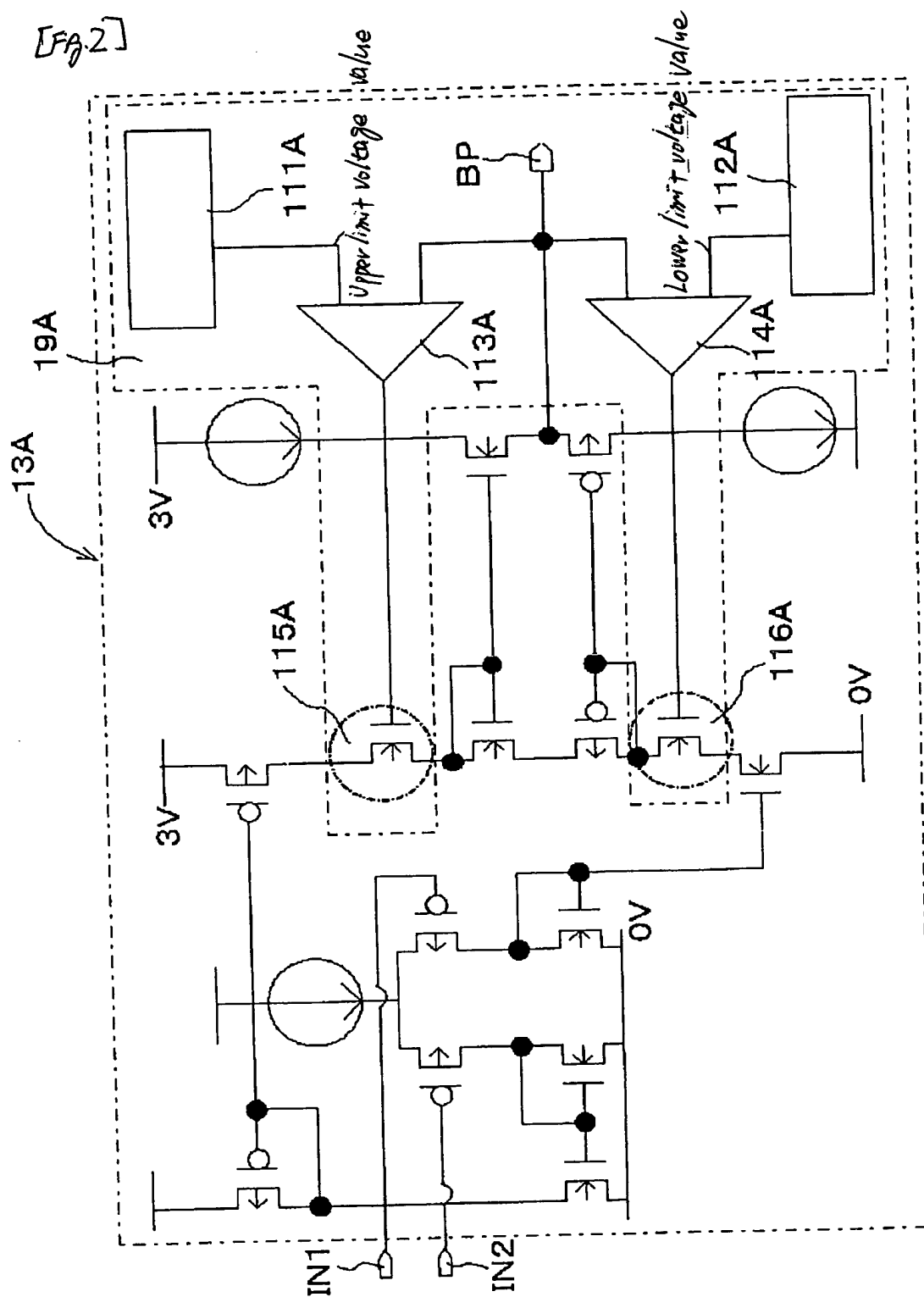


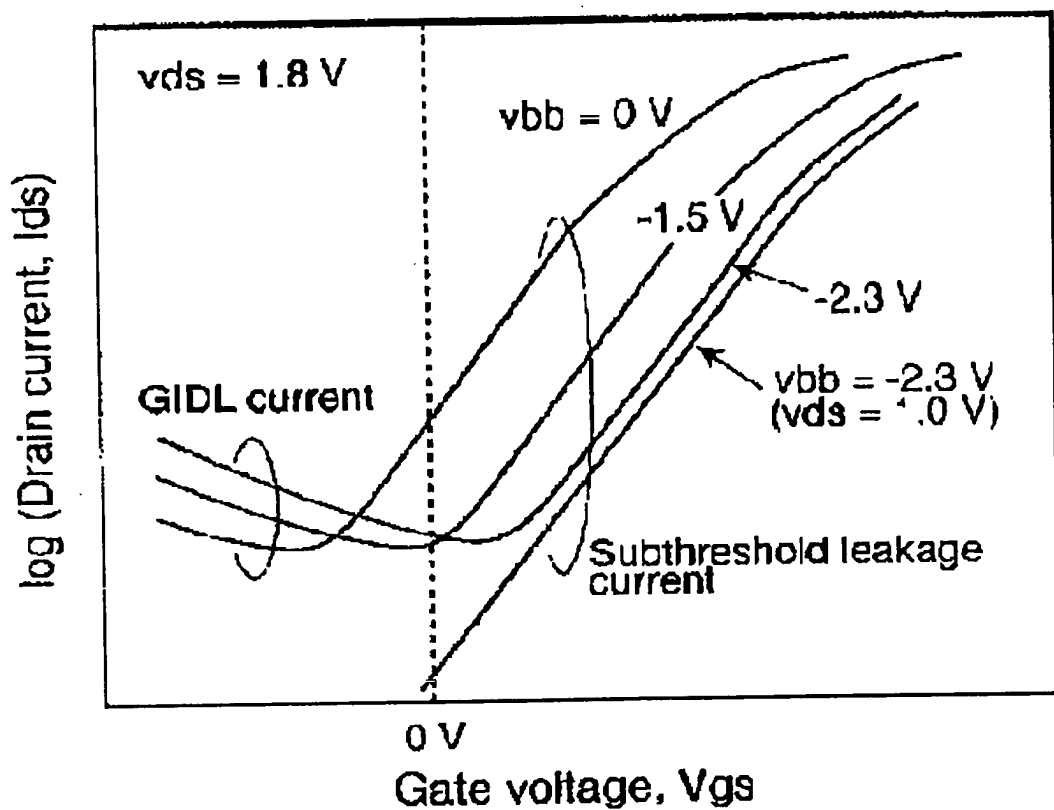
[Fig. 1]



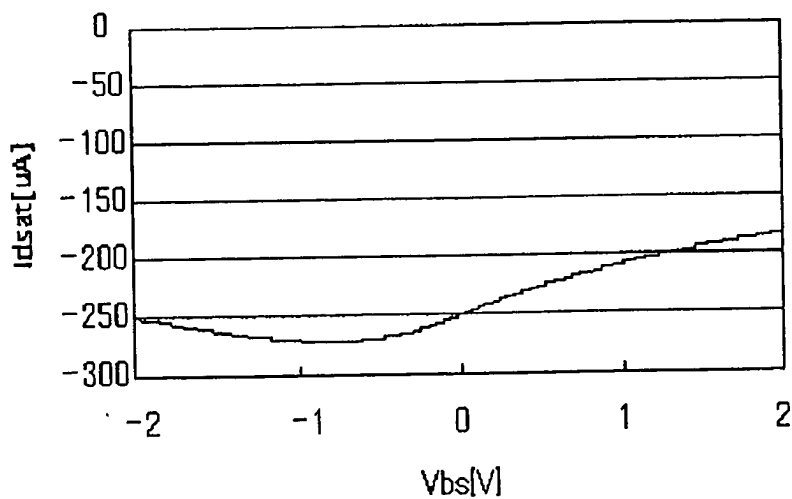
[Fig. 2]



[Fig.3]



[Fig.4]



$I_{ds} - V_{bs}$ characteristics of p-type MOSFET

Fig. 5

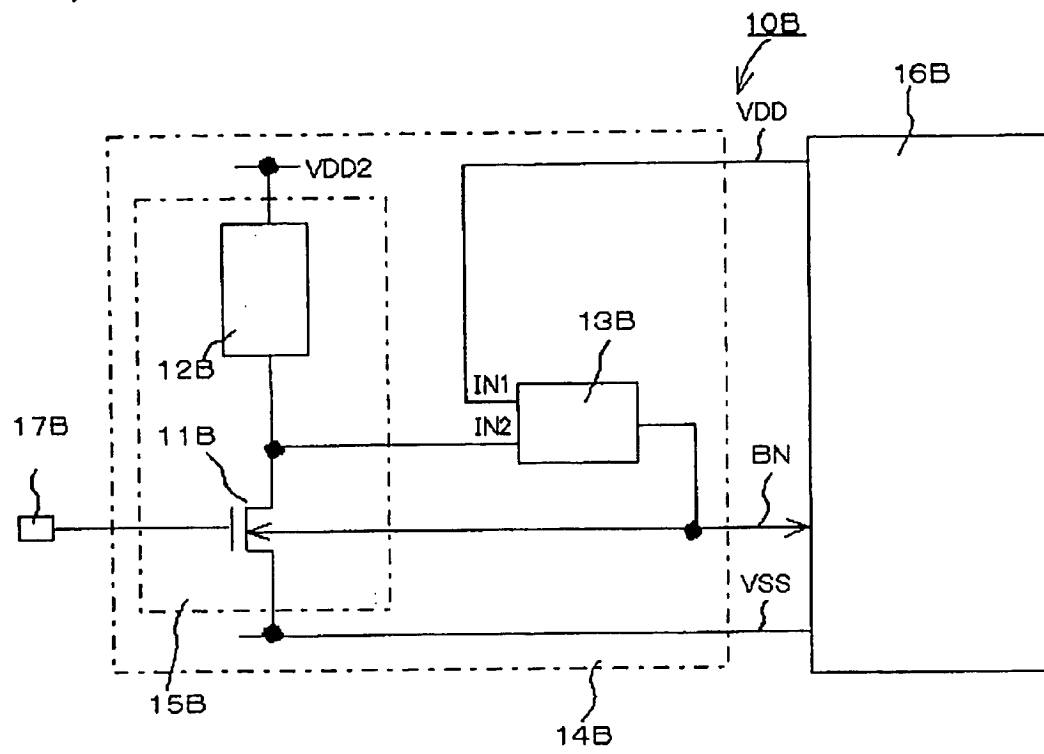
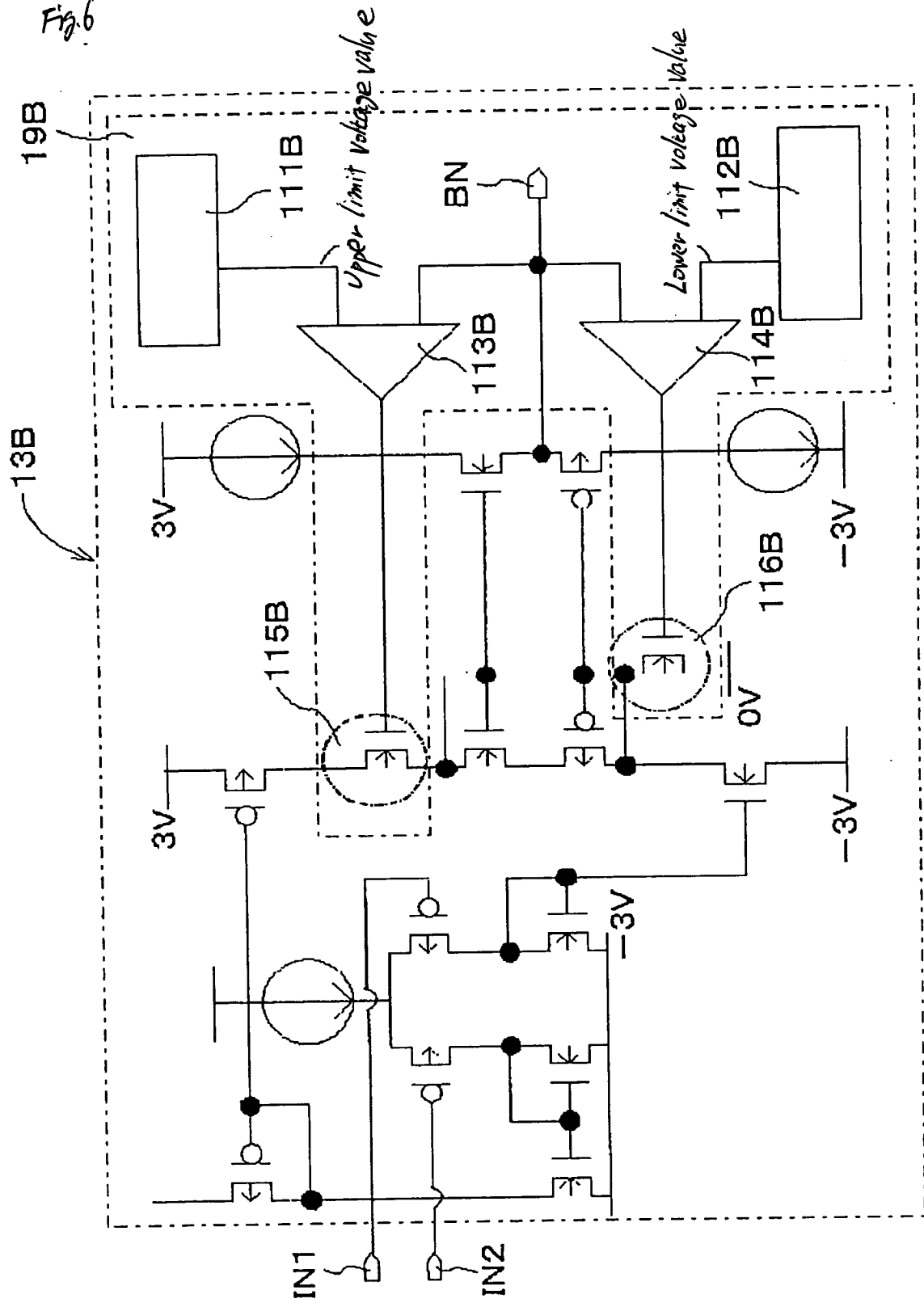
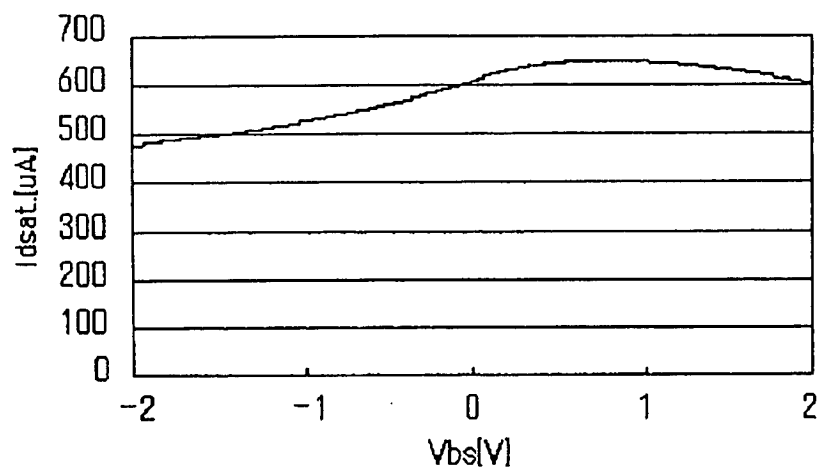


Fig. 6



[Fig. 7]



$I_{ds} - V_{bs}$ characteristics of n-type MOSFET

[Fig. 8]

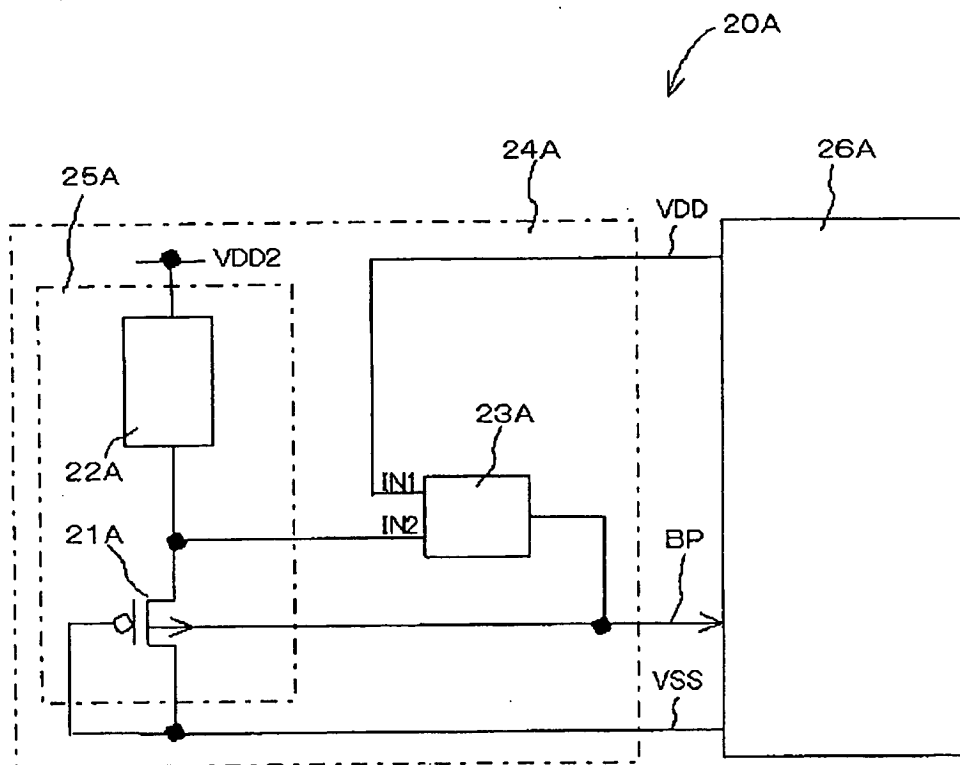
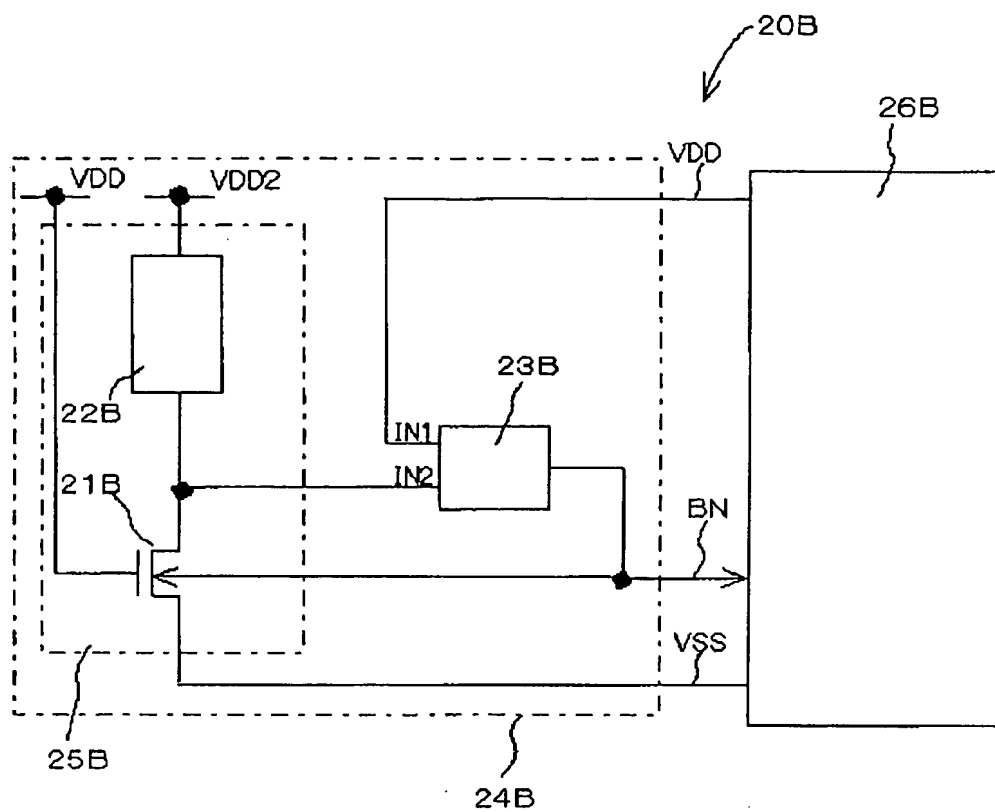
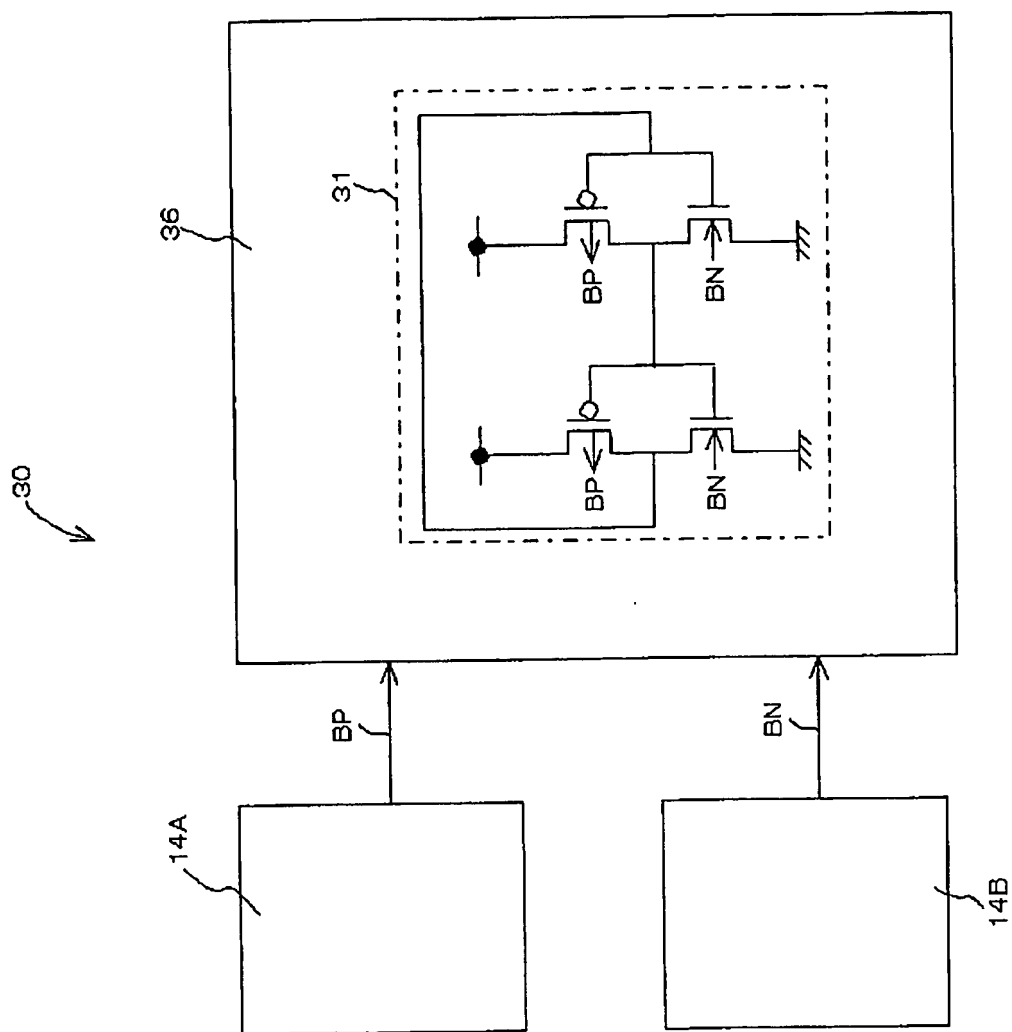


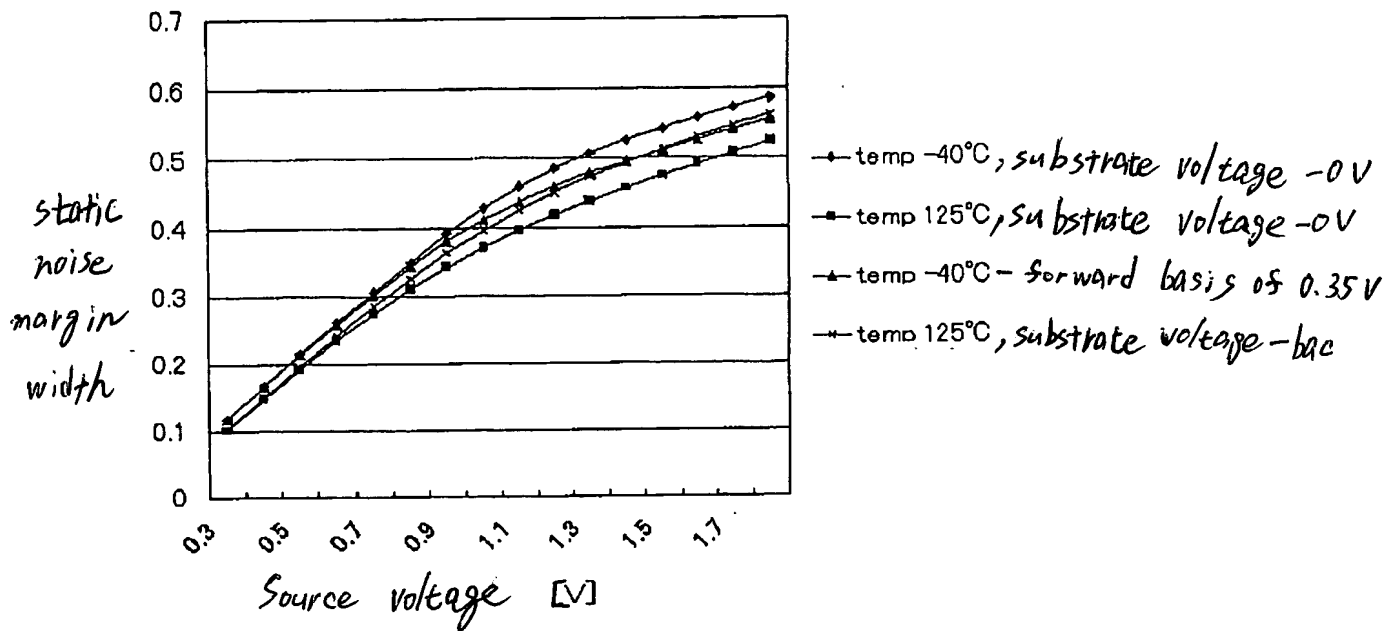
Fig. 9



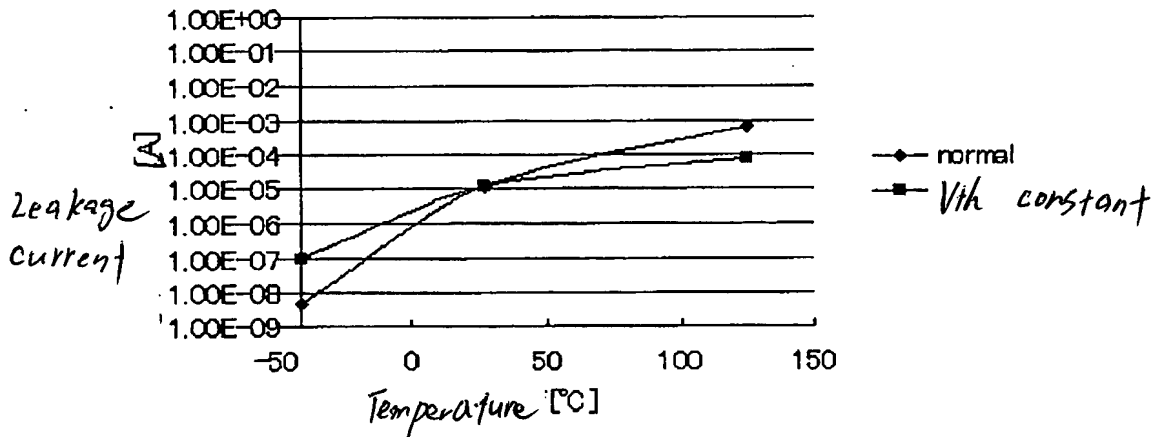
[Fig. 10]



[Fig. 11]



[Fig. 12]



[Fig. 13]

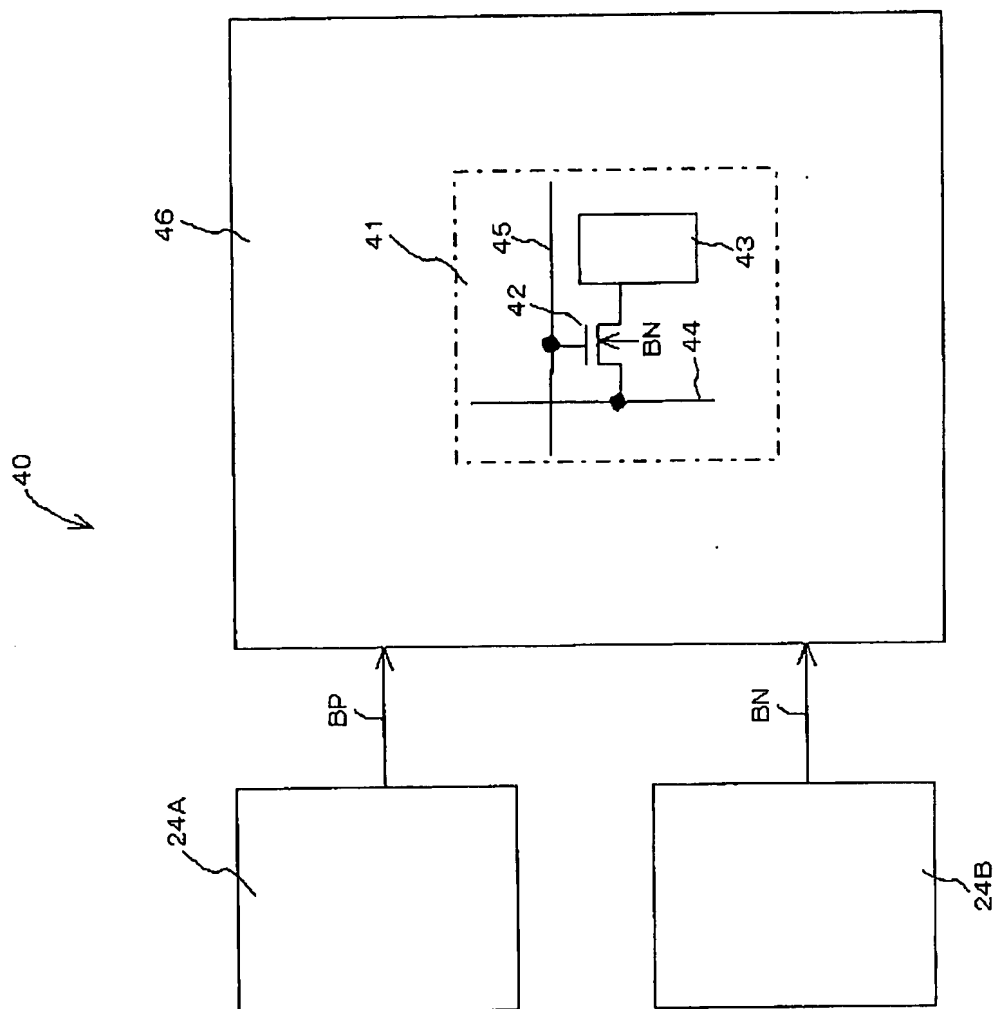


Fig. 14

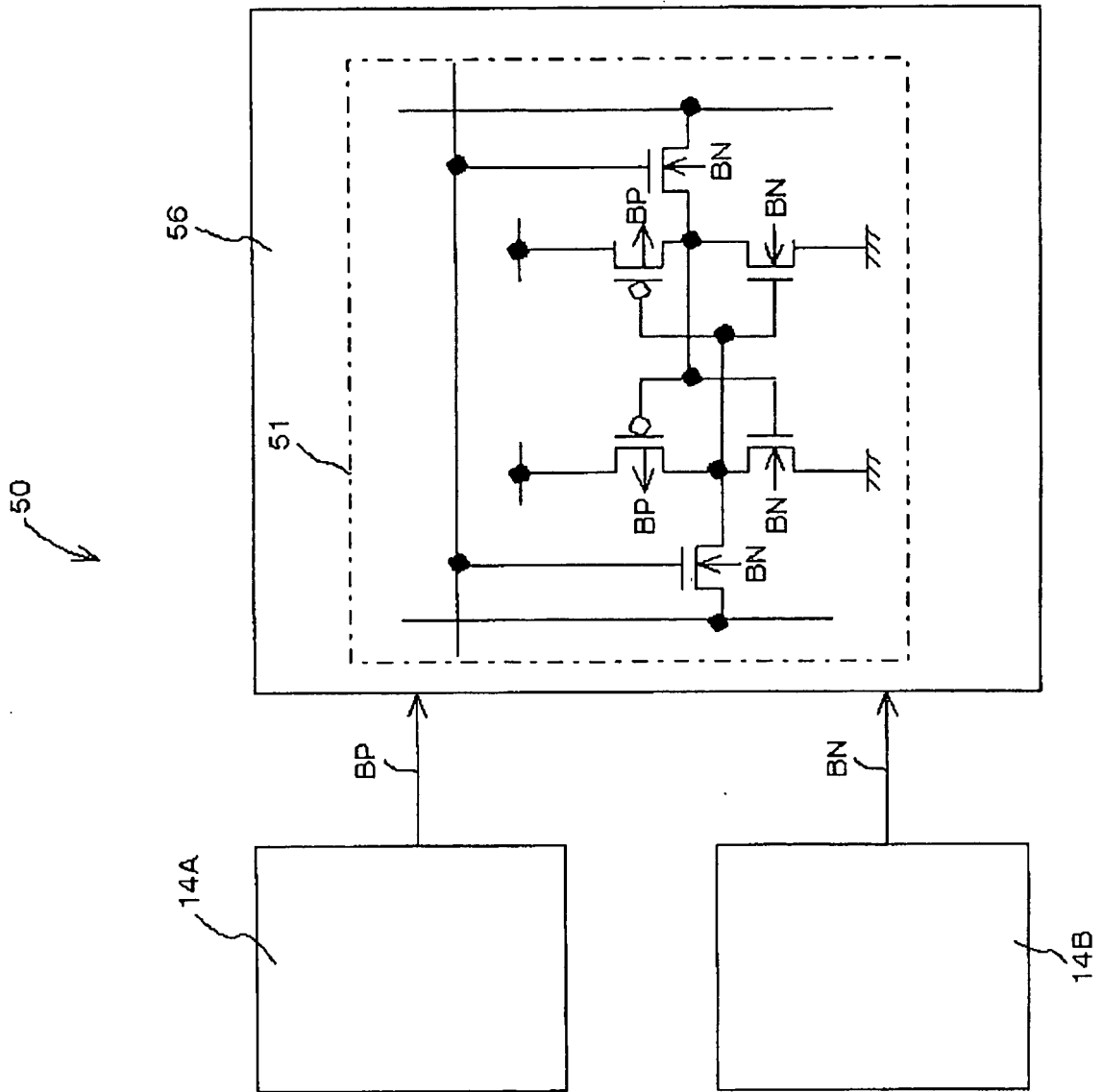


Fig. 15

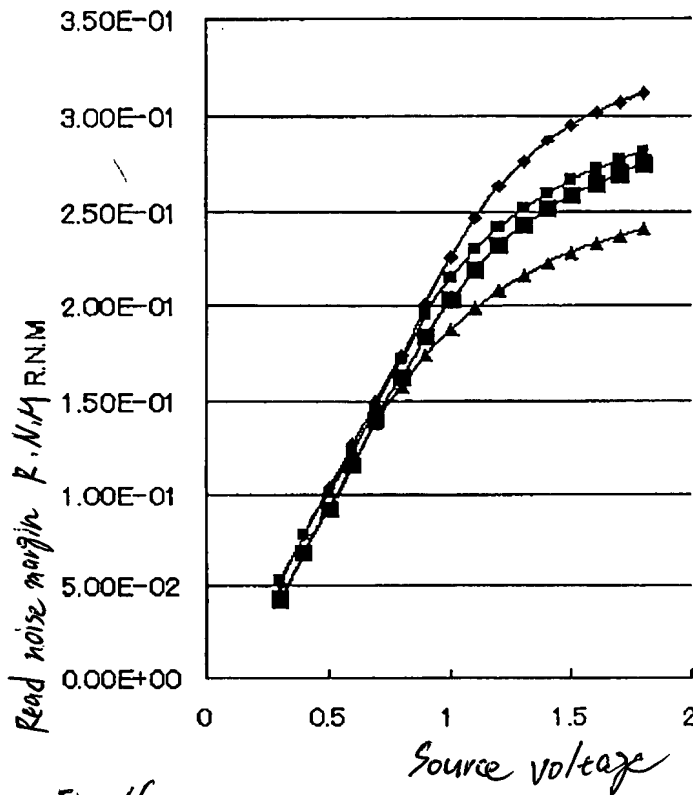


Fig. 16

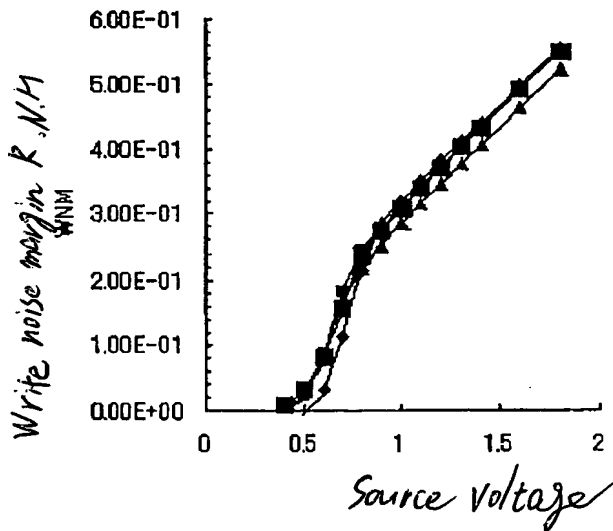


Fig. 17

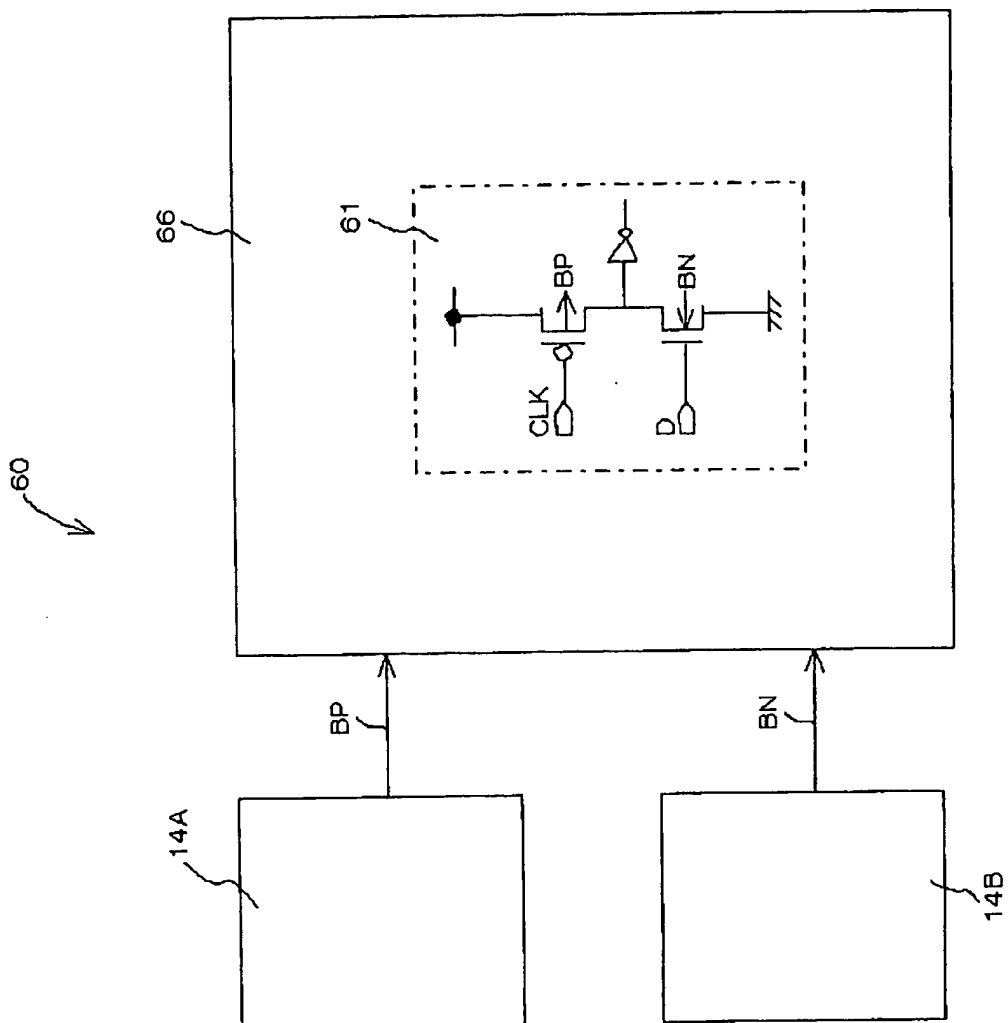


Fig. 18

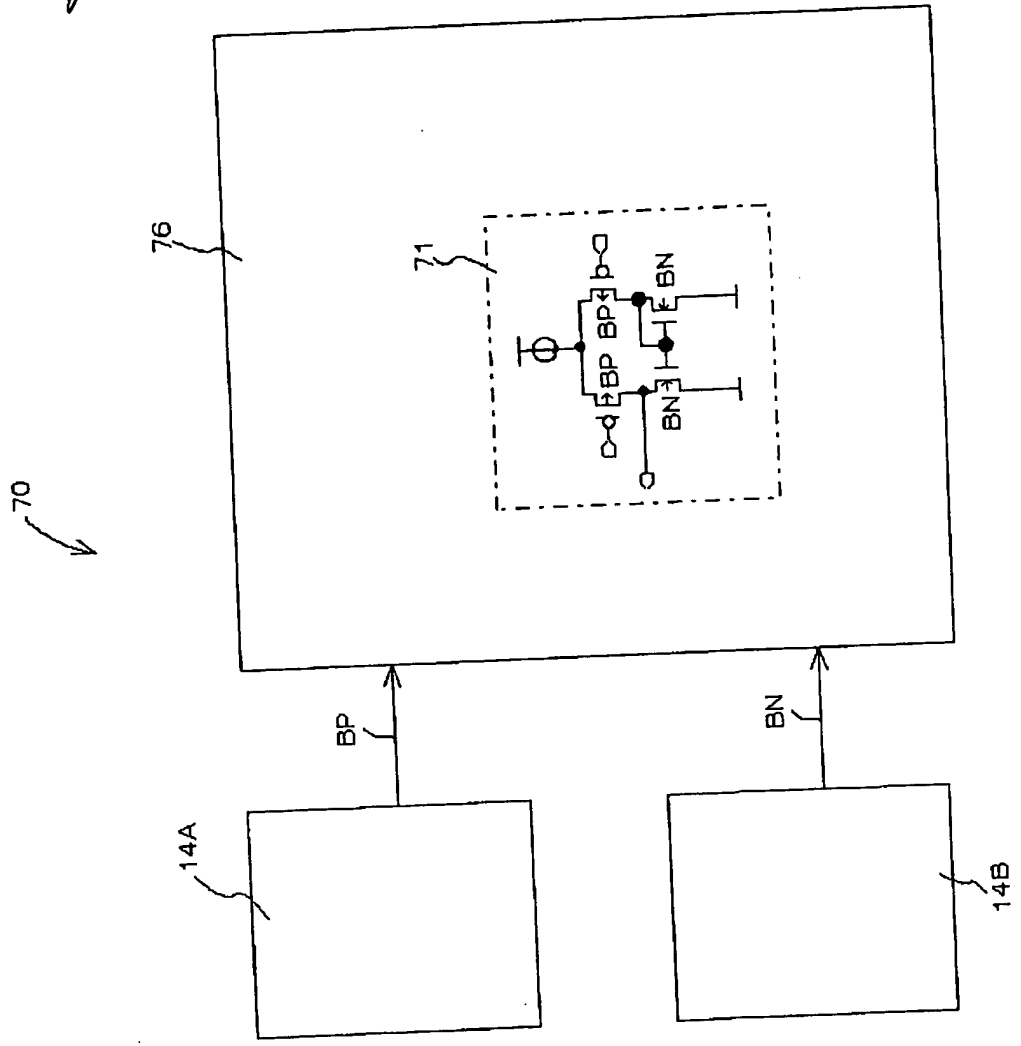


Fig. 19.

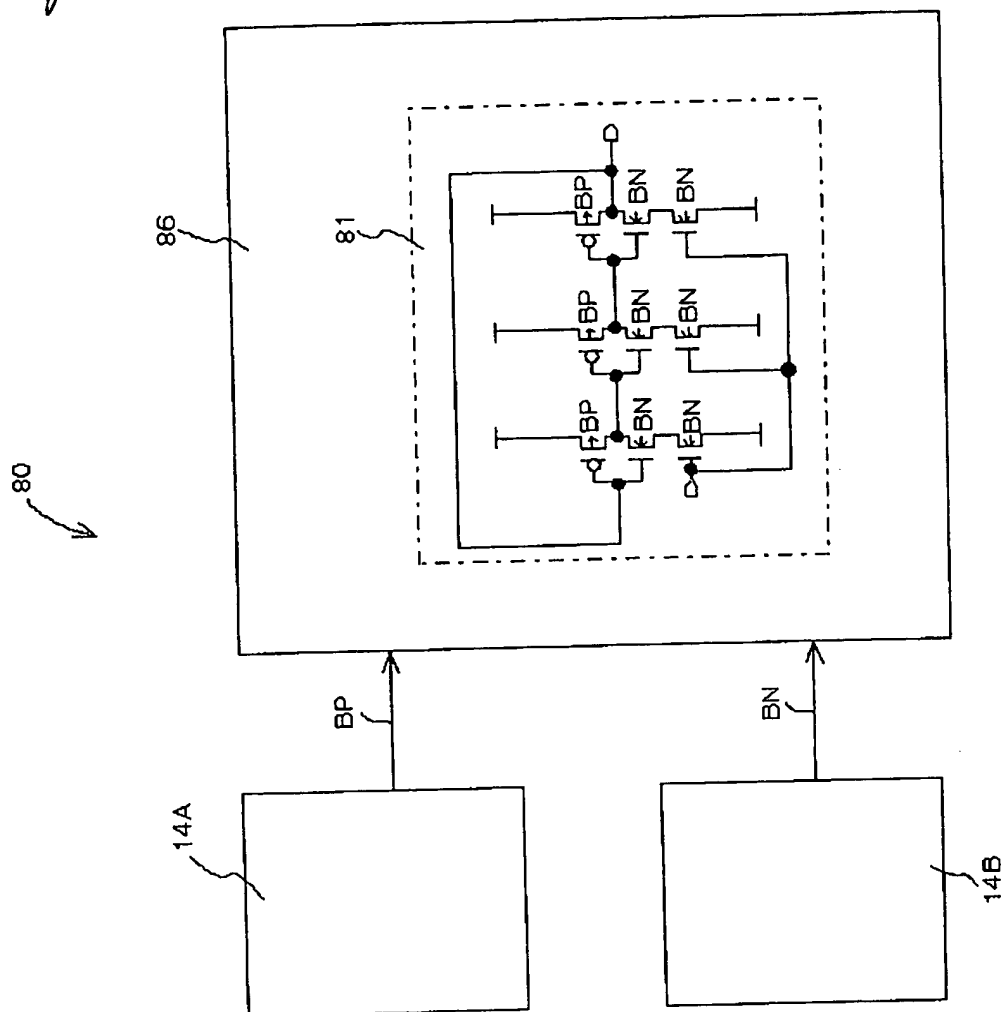
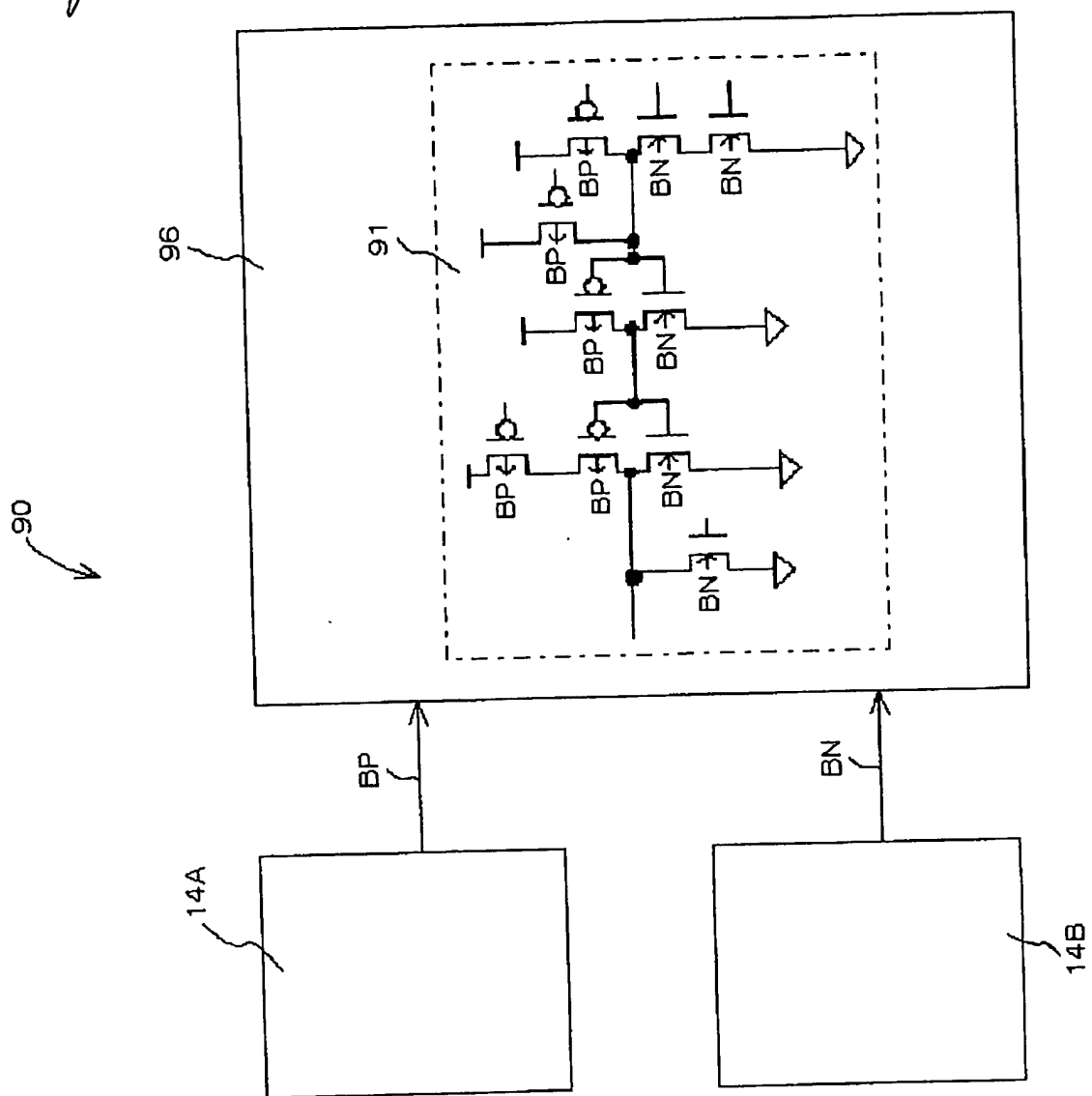


Fig. 20



[Fig. 2]

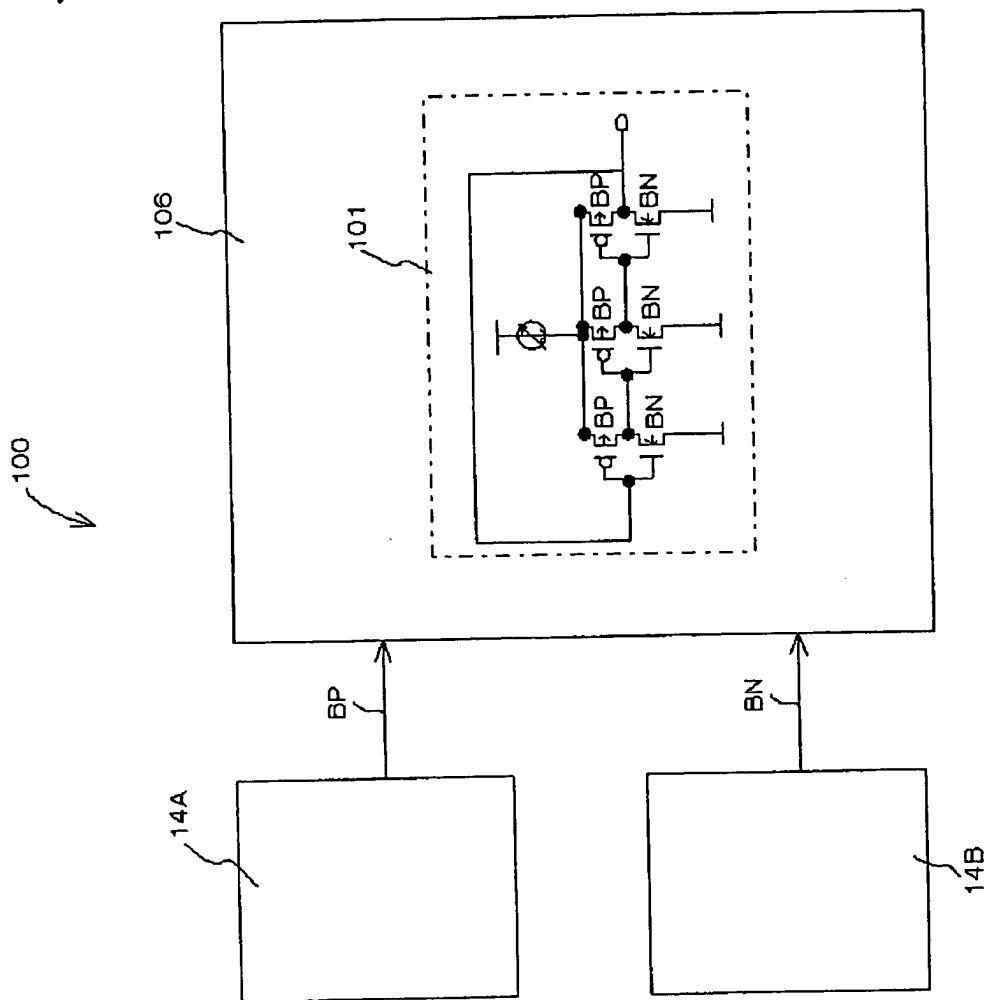


Fig 22

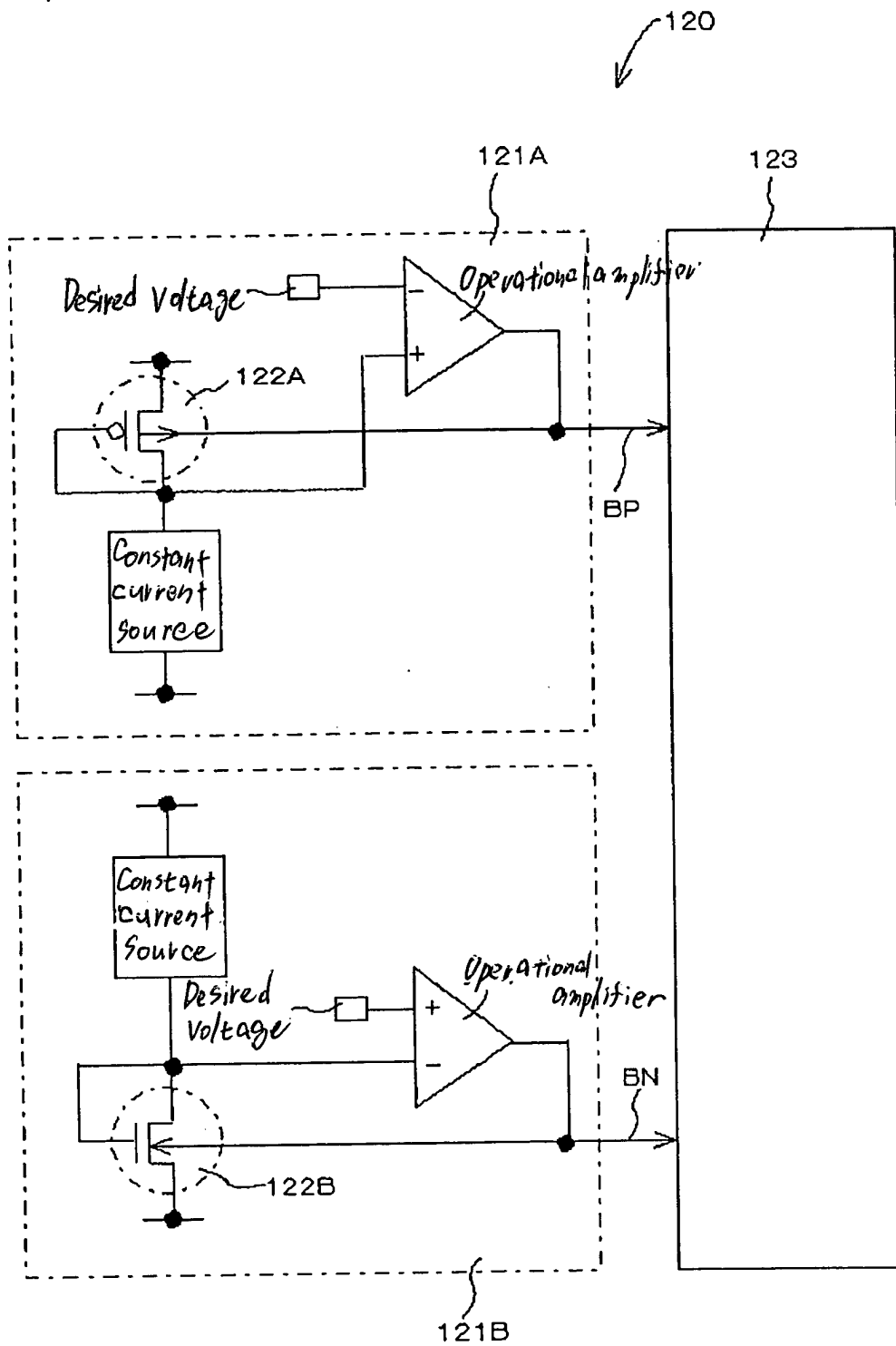
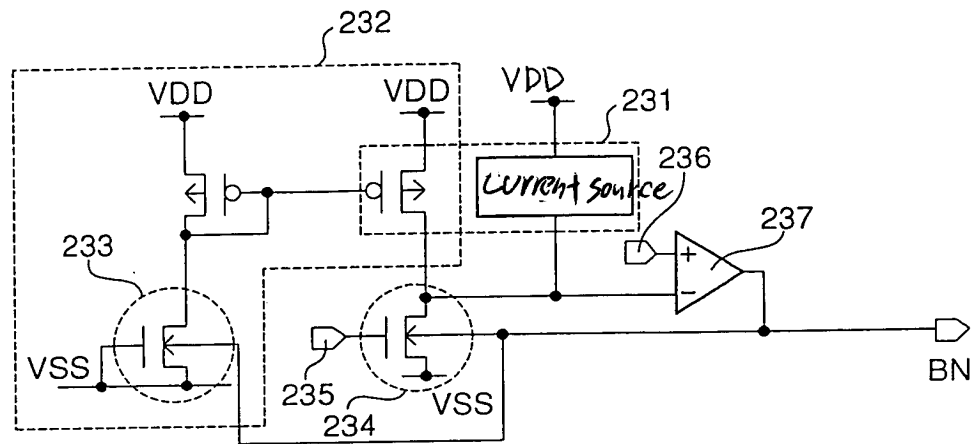
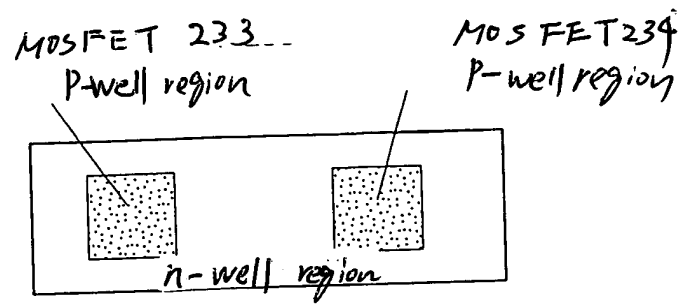


Fig. 23



[Fig. 24]



[Fig. 25]

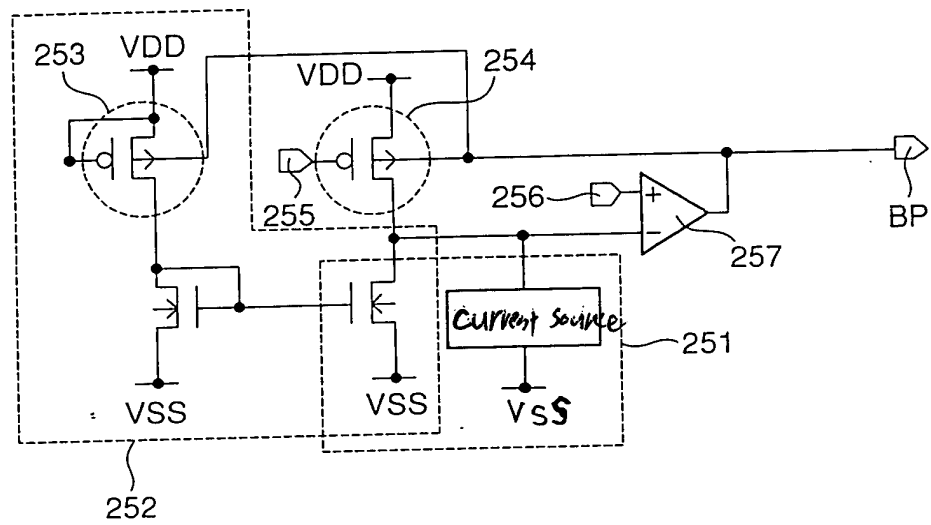


Fig. 26

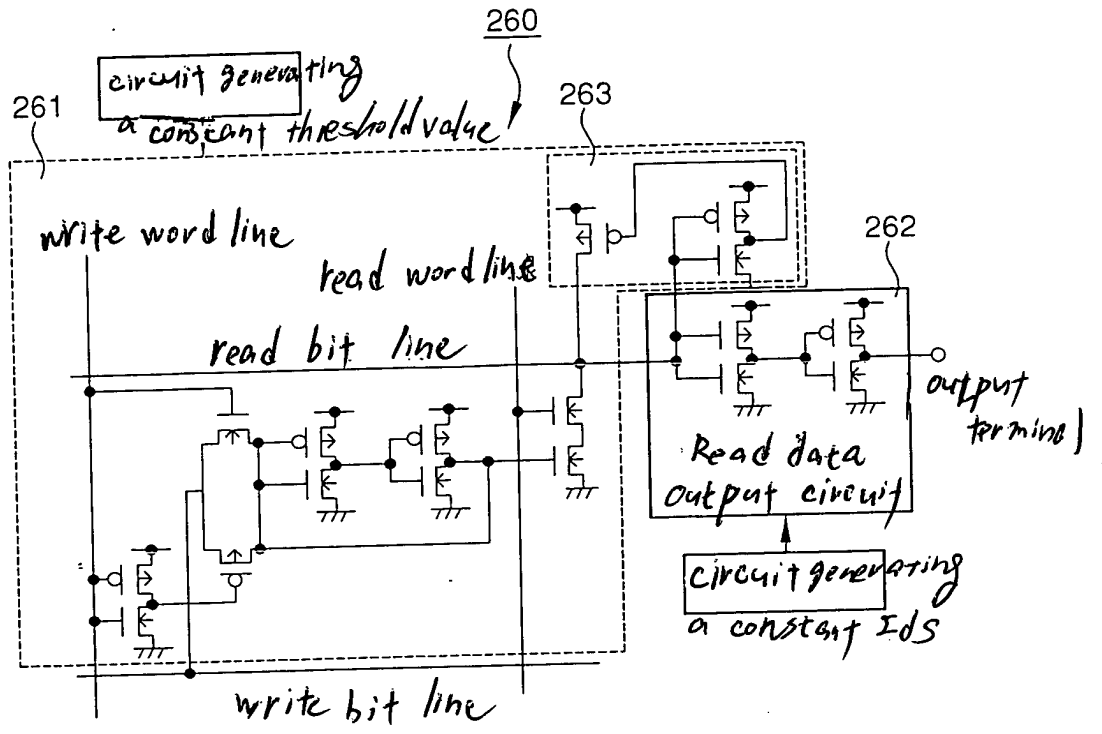
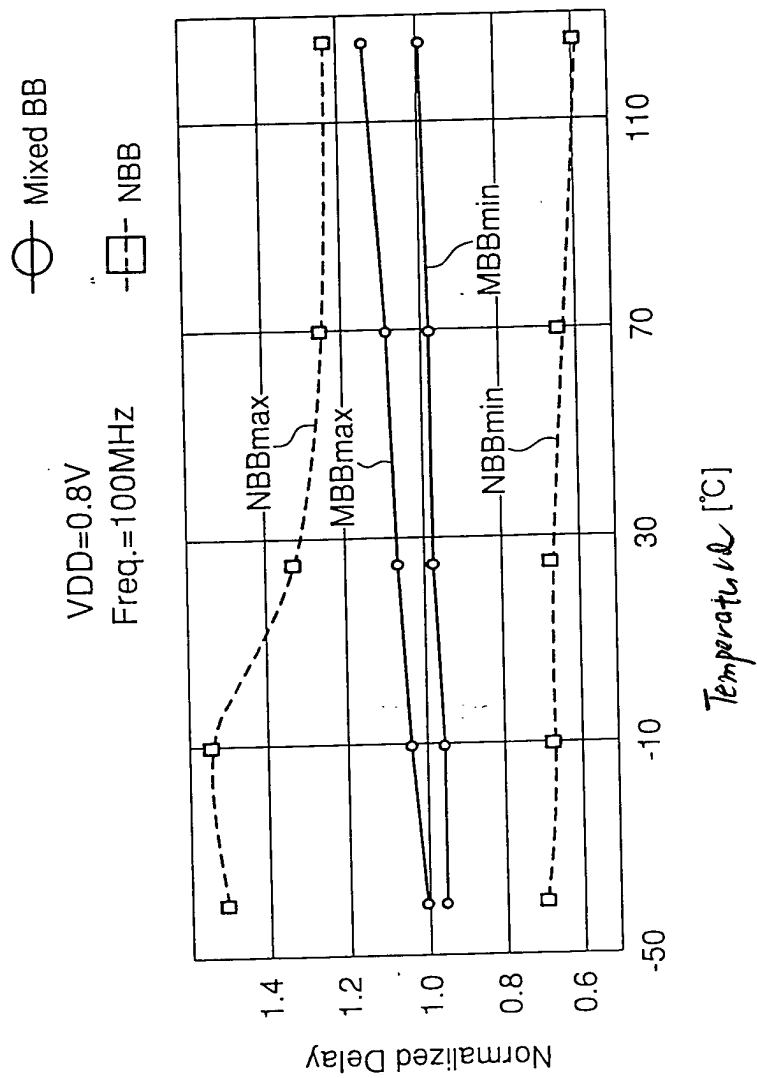


Fig. 27



[Fig.28]

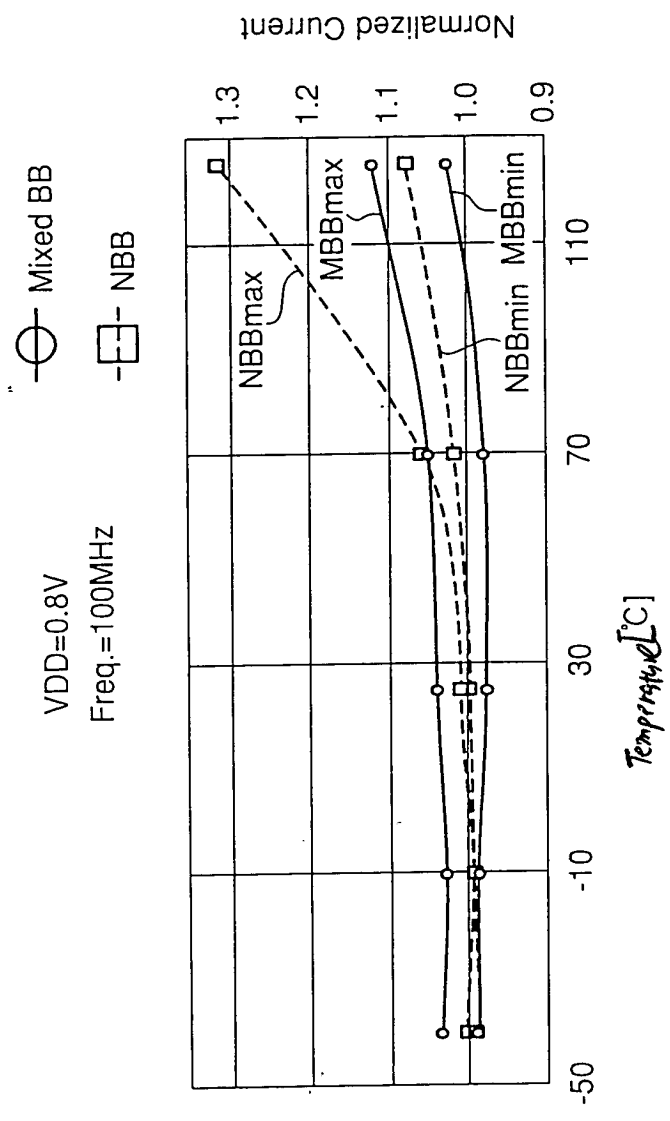


Fig. 29

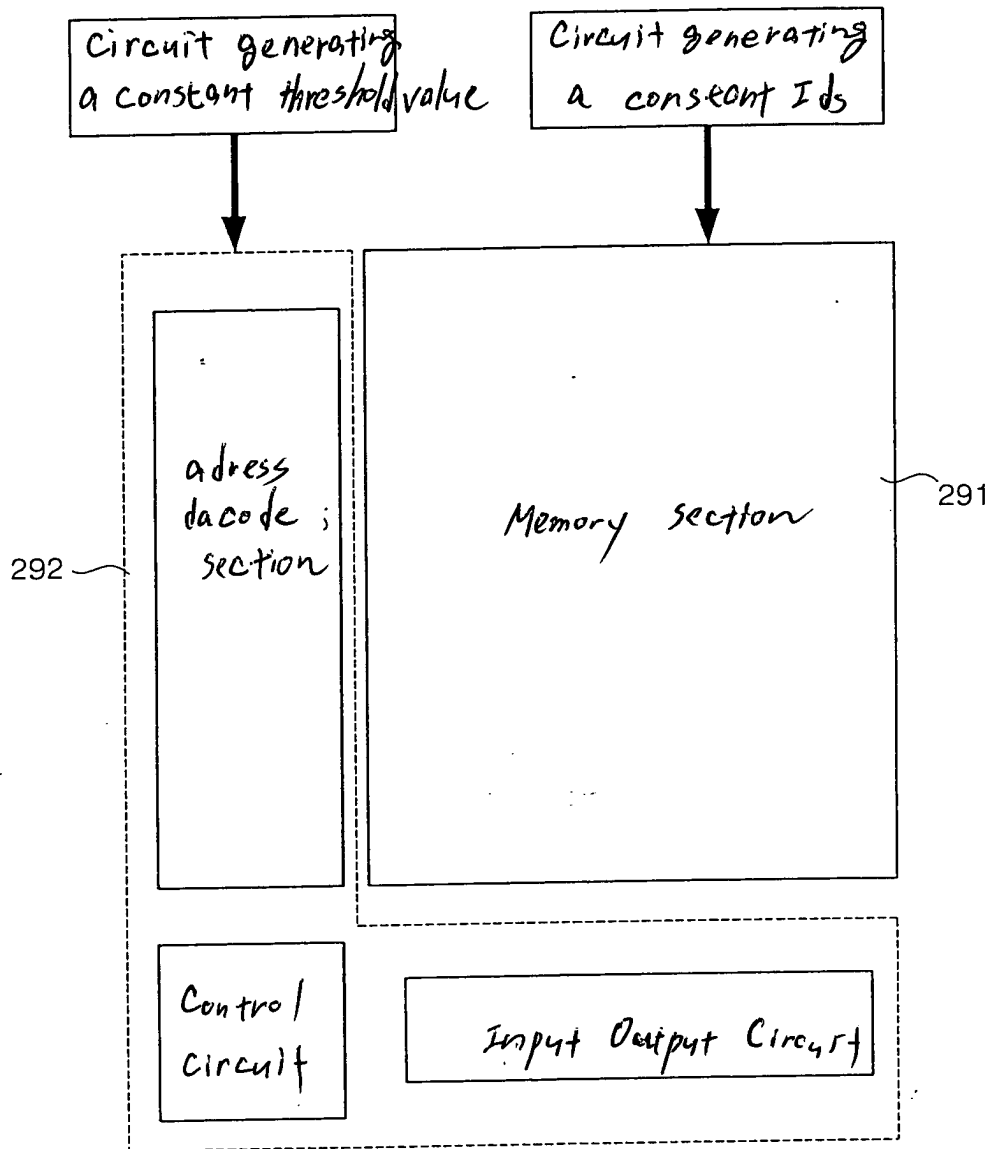


Fig. 30

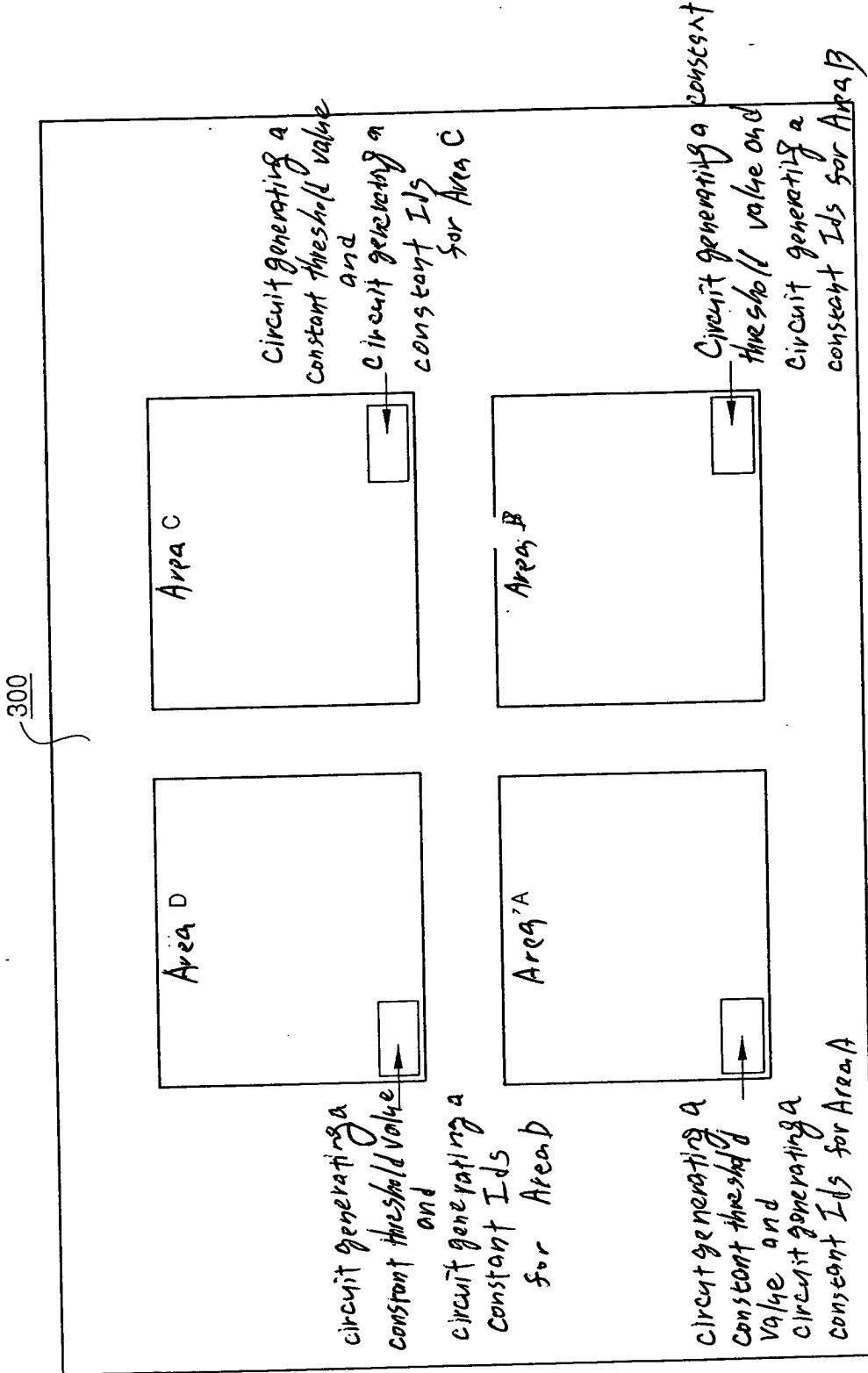


Fig. 31

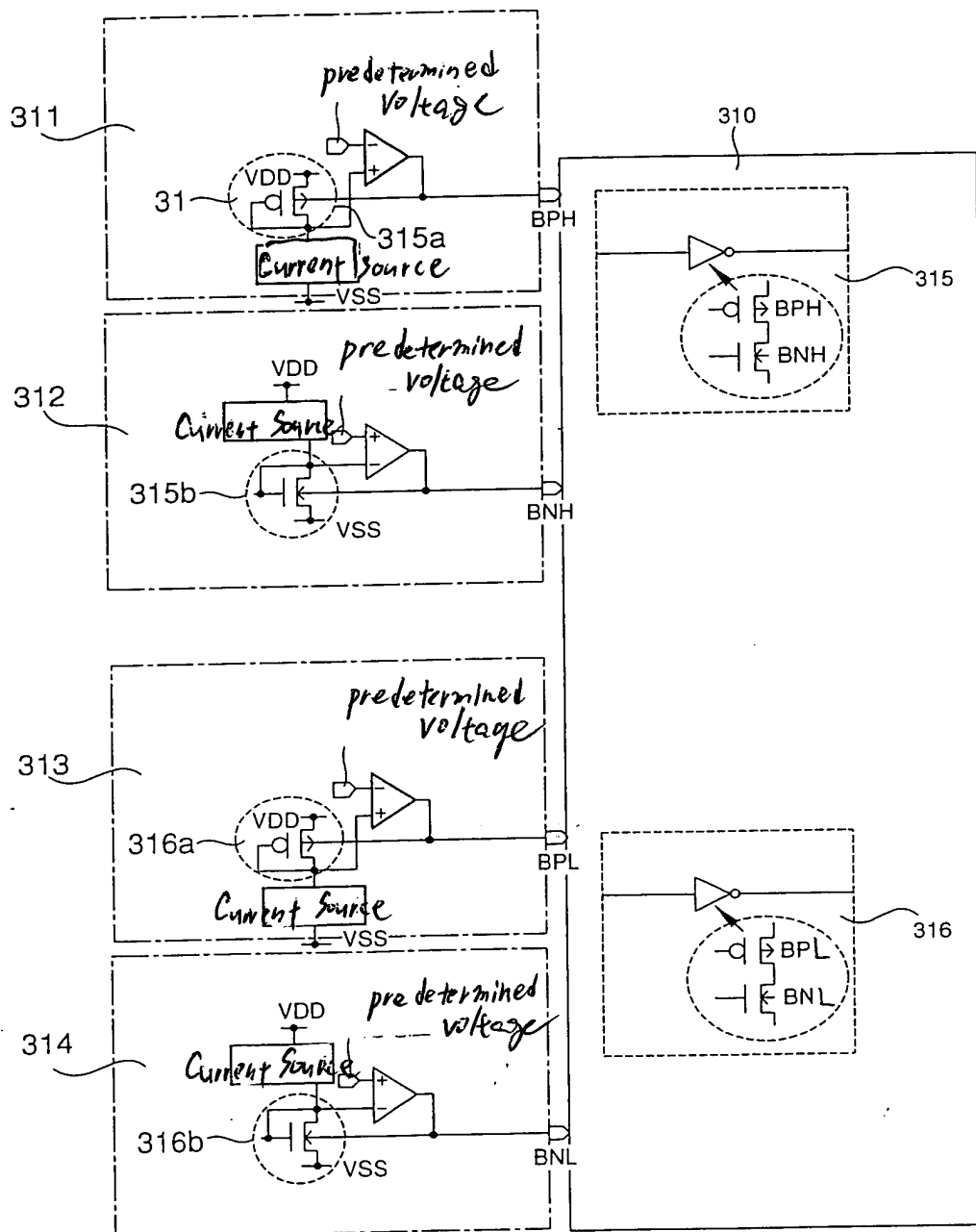


Fig. 32

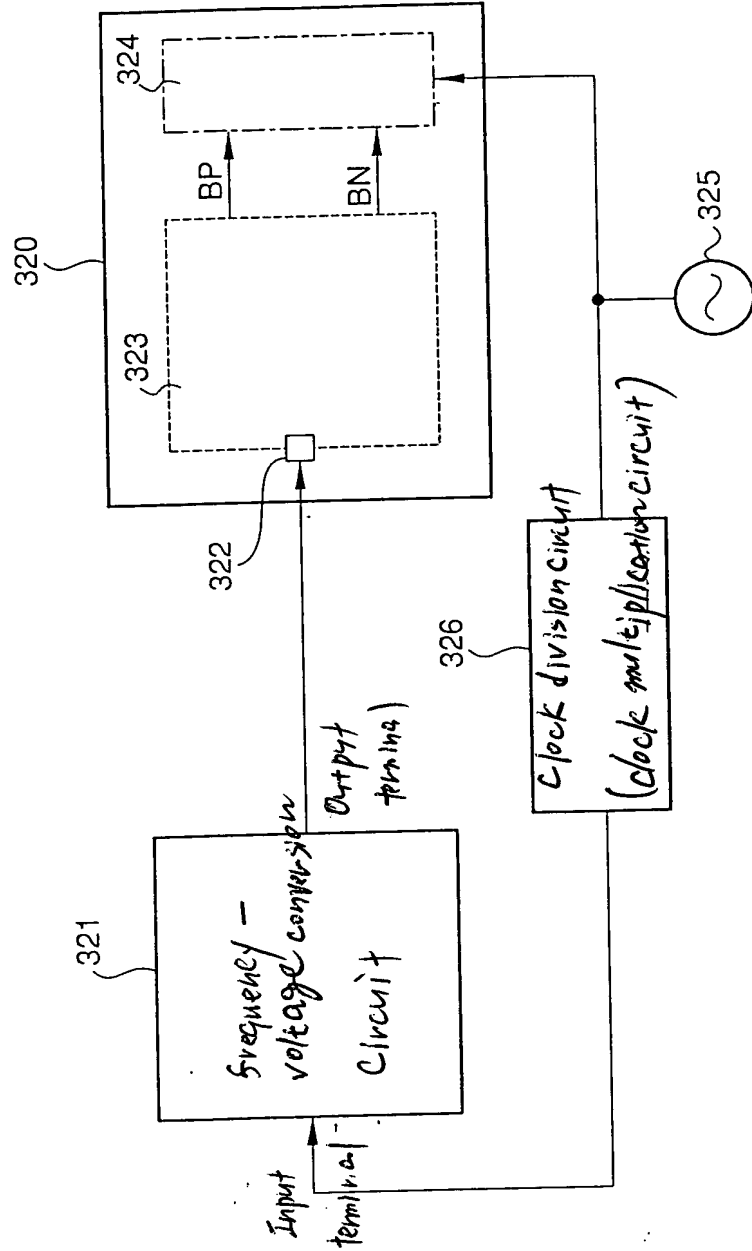
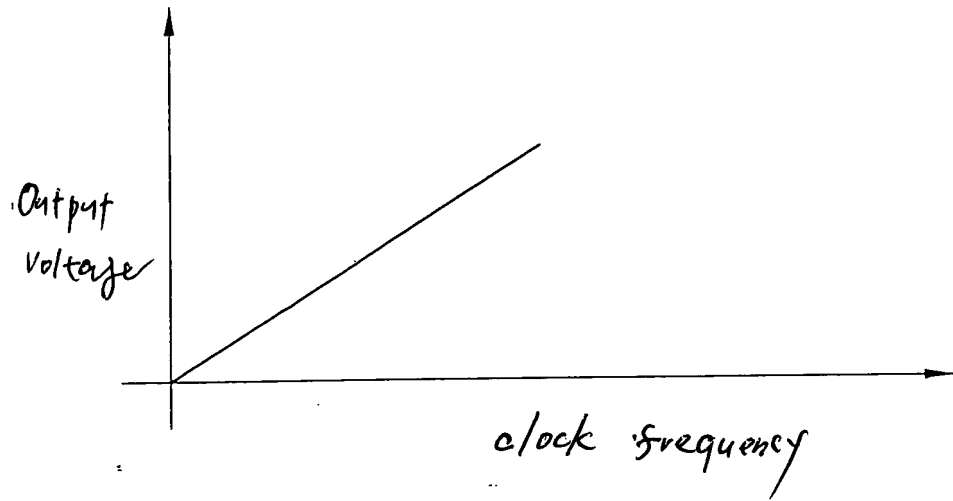


Fig. 33



frequency-voltage conversion characteristic

[Fig. 34]

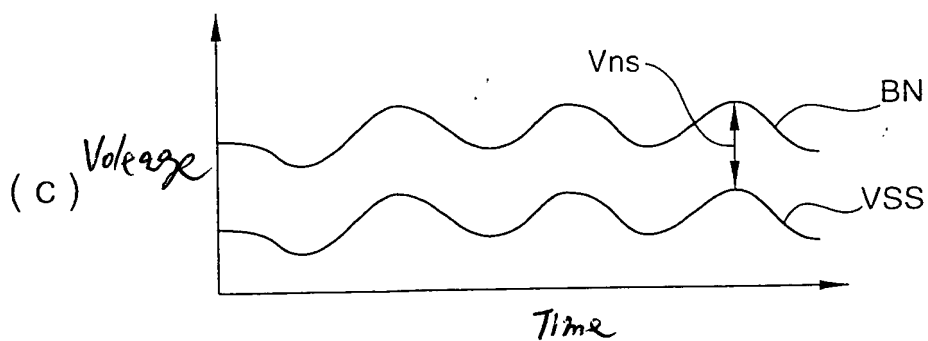
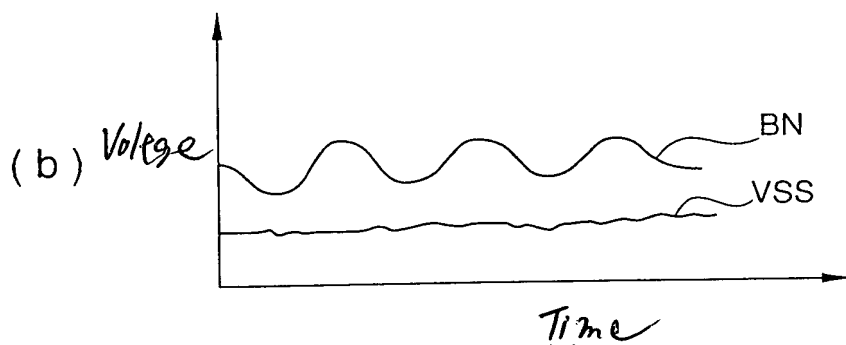
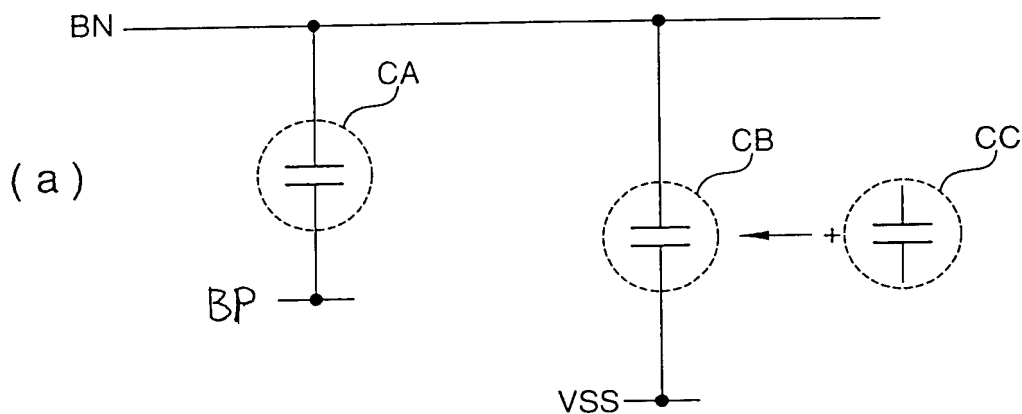


Fig. 35

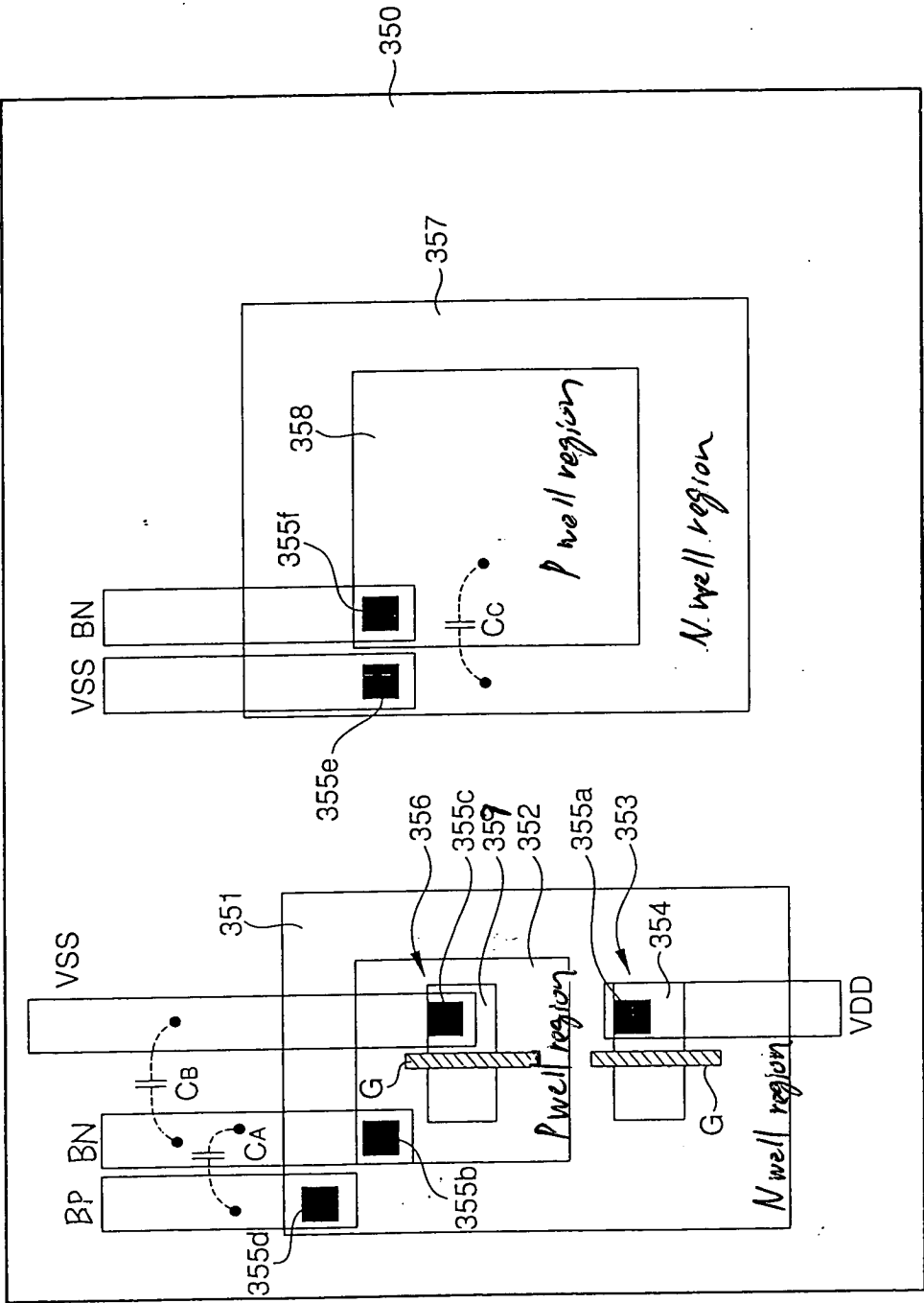


Fig. 36

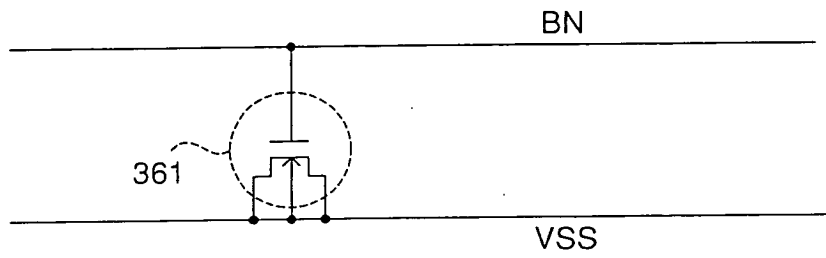
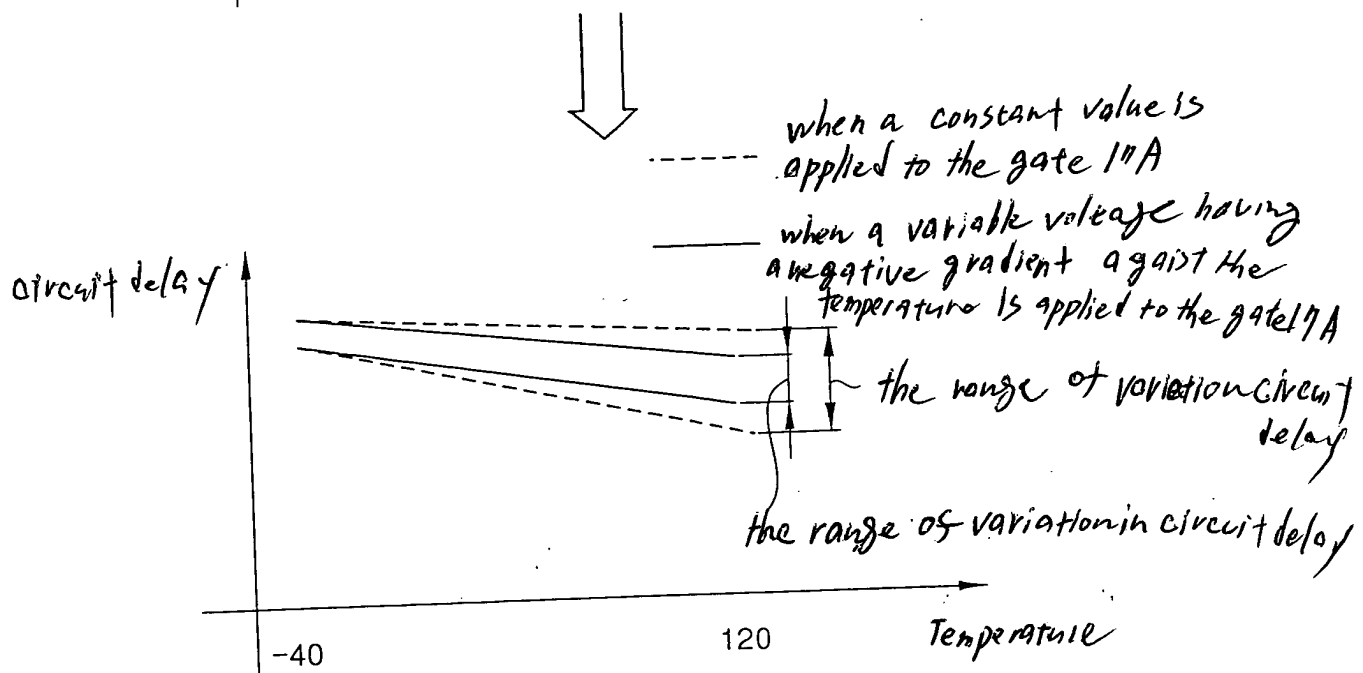
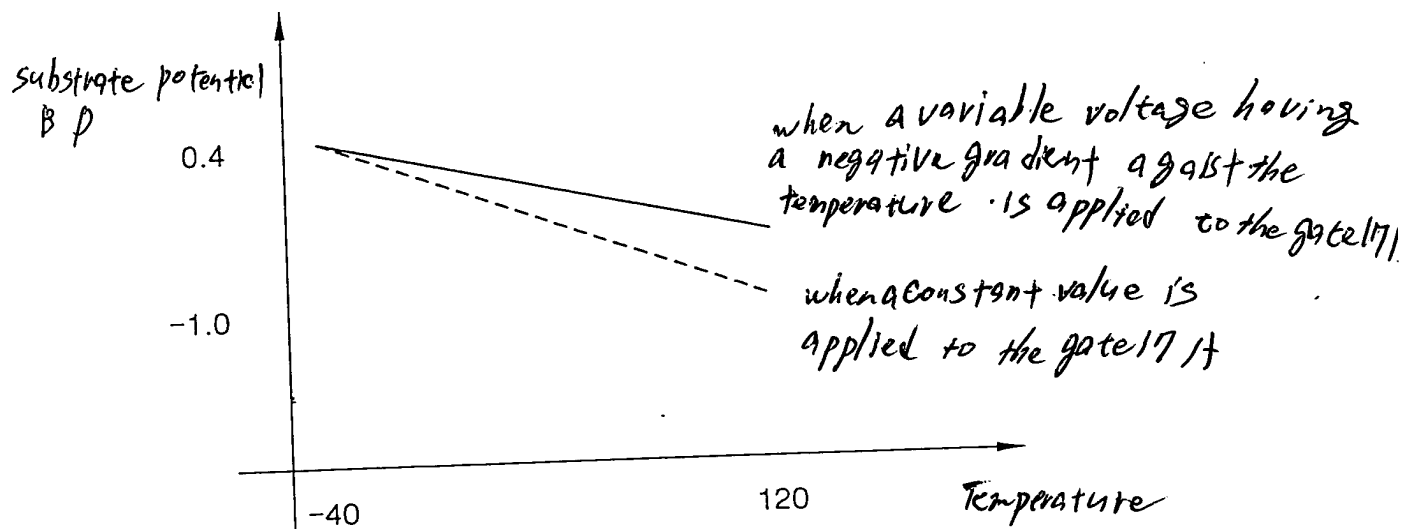
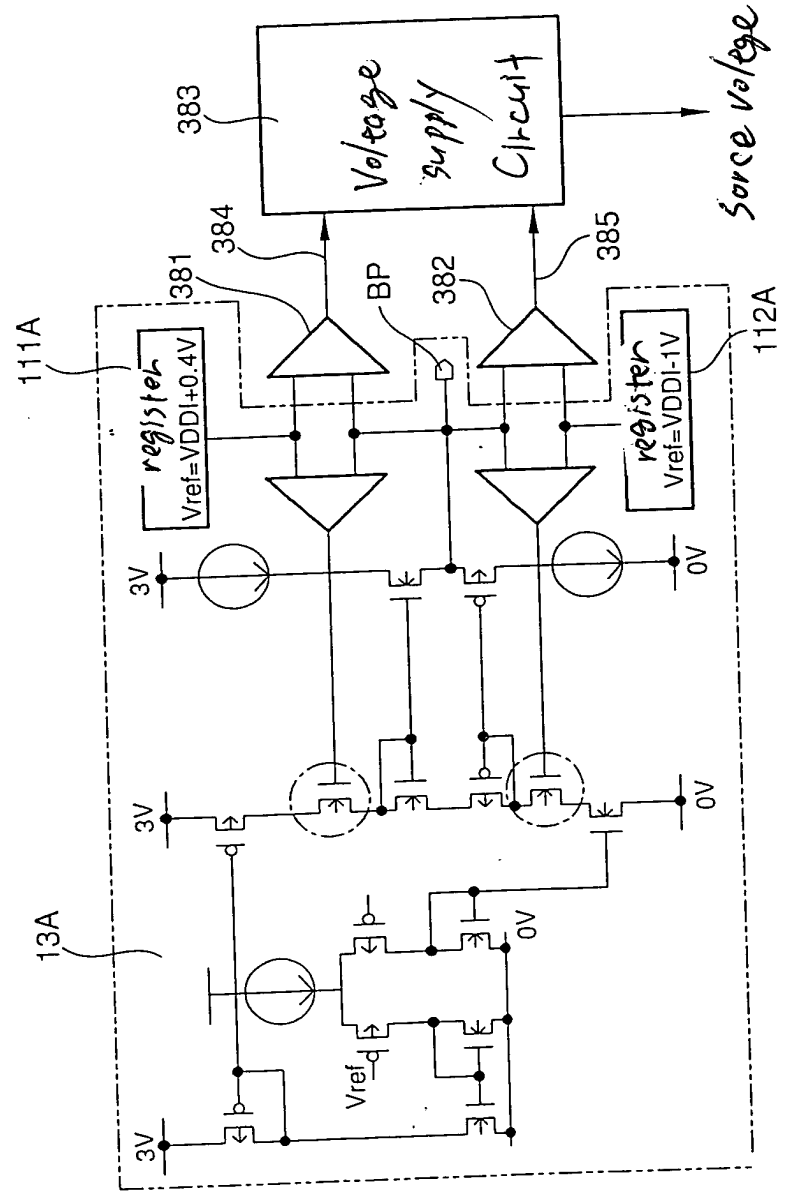


Fig. 37



[Fig. 38]



Source voltage of the integrated circuit main body